

doi: 10.13241/j.cnki.pmb.2014.29.033

AEBP1 在结直肠癌中的表达及其意义

孙 坚¹ 邓 杰¹ 毕 胜¹ 杨海波² 李 著^{1△}

(1 中国人民解放军第一六九医院普外科 湖南 衡阳 421002; 2 中国人民解放军 91878 部队医院 广东 湛江 524000)

摘要 目的:研究脂肪细胞增强结合蛋白 1(AEBP1)在结直肠癌组织中的表达情况,以探索其临床意义。**方法:**运用免疫组织化学和实时定量 PCR 技术,对 AEBP1 在结直肠癌中的表达情况进行检测,并分析其表达量与患者临床病理特征的关系。**结果:**AEBP1 在结直肠正常组织、腺瘤和癌组织中的免疫评分有明显差异($P<0.05$),而且 AEBP1 的阳性表达与肿瘤的分期和浸润深度明显相关。基因水平 AEBP1 的表达在肿瘤组织中明显高于正常组织。**结论:**AEBP1 在结直肠癌组织中存在异常表达,并且可能是结直肠癌早期诊断和浸润深度的肿瘤标志物。

关键词: 结直肠肿瘤; 脂肪细胞增强结合蛋白 1; 病理学; 临床

中图分类号: Q-93-33 **文献标识码:**A **文章编号:**1673-6273(2014)29-5727-04

Expression of AEBP1 in Colorectal Adenocarcinoma and its Clinical Significance

SUN Jian¹, DENG Jie¹, BI Sheng¹, YANG Hai-bo², LI Zhu[△]

(General Surgery Department, The 169TH Hospital of P.L.A, Hengyang, Hunan, 421002, China

22 Hospital of 91878 Military Trops, Zhanjiang, Guangdong, 524000, China)

ABSTRACT Objective: To investigate the association between the expression of Adipocyte enhancer-binding protein 1 (AEBP1) and the clinicopathological characteristics of CRC patients in order to find out the clinical significance of this protein. **Methods:** The AEBP1 expression levels were determined by immunohistochemistry and qPCR. The relationship of the expression of AEBP1 and clinicopathological characteristics was analyzed. **Results:** There were significant difference of the AEBP1 expression in CRC tissues and Adenoma tissues compared with Normal tissues ($P<0.05$); the expression of AEBP1 was correlated with TNM staging and tumor invasion. Moreover, AEBP1 mRNA expression levels were also significantly different between CRC tissues and their corresponding normal tissues. **Conclusion:** Our results indicate that AEBP1 protein expression is aberrantly detected in CRC tissues, and has potential value of biomarker for CRC early detection and tumor invasion.

Key words: Colorectal neoplasms; Adipocyte enhancer-binding protein 1; Pathology; Clinical

Chinese Library Classification: Q-93-33 **Document code:** A

Article ID: 1673-6273(2014)29-5727-04

前言

结直肠癌是世界上最常见的三大恶性肿瘤之一,占肿瘤导致患者死亡人数的第三位^[1]。人们对结直肠癌的发病机制仍然没有研究清楚,因此,早期诊断仍然是提高患者预后的有效手段^[2-4]。目前有很多蛋白标志物,比如癌胚抗原,CA19-9 等,用于结直肠癌的诊断^[5,6]。但是,这些肿瘤标志物对于肠癌诊断,尤其是早期诊断的敏感性和特异性不够^[7,8],CEA 在临幊上一般用于观察患者的治疗效果以及检测肿瘤复发,而对患者早期诊断意义不大,因此,寻找新的可用于结直肠癌早期诊断的肿瘤标志物具有重要意义。

脂肪细胞增强结合蛋白 1(AEBP1)是一个新型的炎症调

节因子^[9],在很多组织中存在表达^[10],研究证明 AEBP1 可以通过抑制 IKBa 来促进 NF-κB 的活性^[11-13],关于 AEBP1 在结直肠癌中的研究尚未有报道,本文应用免疫组化和实时定量 PCR 技术对 AEBP1 在结直肠癌中的表达情况进行分析,并对其临床意义进行探讨。

1 材料和方法

1.1 组织标本

本次研究中,我们应用 176 个蜡块,其中 156 个为肿瘤和正常组织的配对蜡块,20 个为息肉蜡块,另外我们还选用了 70 个配对的新鲜组织。所有的标本都来自中国人民解放军第一六九医院普外科,标本的病理特征见表 2,本实验采用 TNM 分期法进行病理分期。本实验通过了医院伦理委员会,每位患者都签订了知情同意书。

1.2 免疫组化及组织芯片

所选用的 156 个蜡块制成两张组织芯片用于免疫组化实

作者简介:孙坚(1976-),男,学士学位,主治医师,

电话:13875661250,E-mail:ssjj169@sohu.com

△通讯作者:李著,E-mail:tufei@163.com

(收稿日期:2013-11-21 接受日期:2013-12-19)

验。免疫组织化学实验采用 SP 法,操作过程严格参照说明书进行,一抗购自上海市长岛生物科技有限公司,阳性对照使用由既往实验证实的阳性组织,阴性对照使用 PBS 代替一抗。结果分析:阳性信号为棕黄色颗粒,根据染色强弱,染色强度评分为 0 分(阴性)、1 分(弱阳性)、2 分(阳性)以及 3 分(强阳性);根据染色百分比,染色百分比评分为 1 分(< 25% 细胞染色),2 分(25-50% 细胞染色),3 分(51-75% 细胞染色),以及 4 分(> 75% 细胞染色),最后的免疫评分(IRS)为细胞染色强度评分和染色百分比评分的乘积。IRS=0 为阴性,IRS=1-7 为弱阳性,IRS=8-12 为阳性。

1.3 总 RNA 的提取及 RT-PCR

提取 70 个配对组织的总 RNA,用 TaKaRa 试剂盒进行反转录和定量 PCR,AEBP1 上游引物为:5' - catctaccactcacctg-gaa -3';下游引物为:5' - cactcctcggtcaccaccc -3',Actin 选作内参,引物由生工公司合成,采用相对表达量衡量基因表达水平,用 $2^{\Delta\Delta CT}$ 法计算。

1.4 统计学方法

采用 SPSS17.0 统计软件,计数资料用 t 检验分析,计数资料用卡方检验分析,计量资料用 t 检验,P<0.05 认为有统计学意义。

2 结果

免疫组化结果如图 1 所示,AEBP1 阳性染色主要集中在肿瘤细胞质内。在 156 个正常组织中,83%(131/156)阴性染色,16%(25/156)为弱阳性染色,无阳性染色,其中 ISR=0 的占 84% (131/156),ISR=2 的占 0.6%(1/156),ISR=3 的占 6.4% (10/156),ISR=4 的占 9%(14/156);在 20 个息肉组织中,无阴性染色,90%(18/20)为弱阳性染色,10%(2/20)为阳性染色,其中 ISR=2,4,6,8 的分别占 30%(6/20),40%(8/20),20%(4/20),10%(2/20);在所有的肿瘤标本中,无阴性染色,21%(33/156)为弱阳性染色,60%(94/156)为阳性染色,19%(29/156)为强阳性染色,其中 ISR=2,3,4,6,8,9,12 的分别占 3.2%(5/156),3.2%(5/156),14.7%(23/156),30.8%(48/156),29.5%(46/156),6.4%(10/156),12.2%(19/156),AEBP1 的表达量在肿瘤、腺瘤和正常组织中有明显的差异(P<0.05,表 1)。

进一步分析,正常组织、腺瘤、肿瘤组织 ISR 的均值分别为 0.56 ± 1.316 、 4.2 ± 1.936 、 6.99 ± 2.567 ,从数据可以看出随着疾病的进展,AEBP1 蛋白的表达量有一个明显的递增趋势,如图 2 所示。

接下来对 AEBP1 蛋白表达与临床病例特征的关系进行分析,结果如表 2 所示,AEBP1 蛋白表达的阳性率与结直肠癌临床分期、浸润深度以及生长部位相关,而与性别、年龄、肿瘤直径、分化程度、淋巴转移、远处转移等其他临床特征无关,表现为 I 期、II 期患者中的阳性表达率明显高于 III 期、IV 期患者(56.4% vs 43.6%,P<0.05);按浸润深度分组,浸润至黏膜层以及肌层的为(T1+T2)组,浸润至浆膜层及以上者为(T3+T4)组,结果发现 AEBP1 在(T1+T2)组的免疫评分和阳性表达率明显高于(T3+T4)组,如图 3 所示。

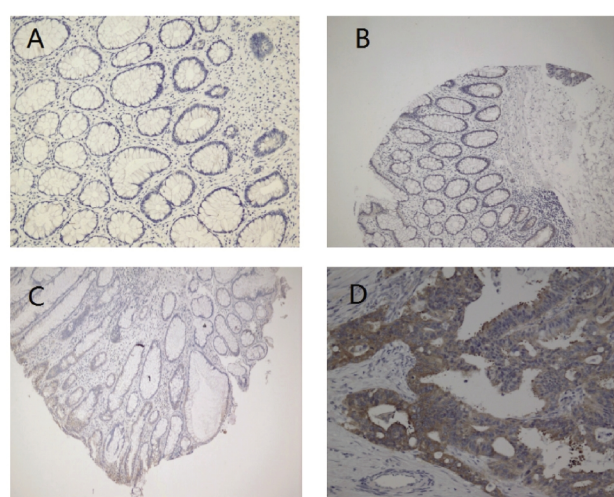


图 1 AEBP1 的免疫组化结果。A:正常细胞的阴性染色;B:正常的弱阳性染色;C:腺瘤的弱阳性染色;D:肿瘤细胞的阳性染色。放大倍数为 100 倍

Fig. 1 Representative immunohistochemical staining for AEBP1 expression. A, Negative staining (scoring=0) in normal tissues. B. Weakly positive staining (scoring=2) in normal tissues. C, Weakly positive staining in adenoma tissues (scoring=2). D, positive staining in CRC tissues (scoring=12). Magnification, $\times 100$

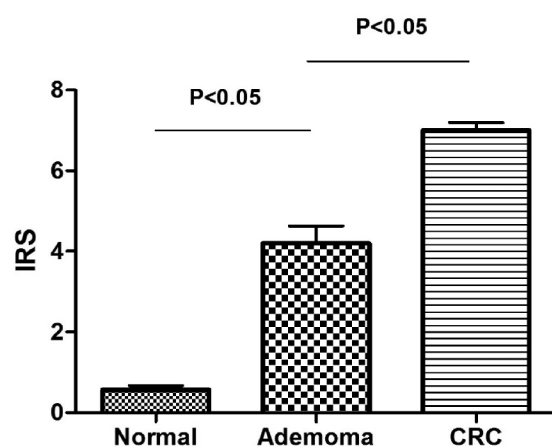


图 2 正常组织、腺瘤和肿瘤组织的免疫评分

Fig. 2 The IRS of AEBP1 protein expression in the CRC tissues, their corresponding normal tissue and the adenoma tissues

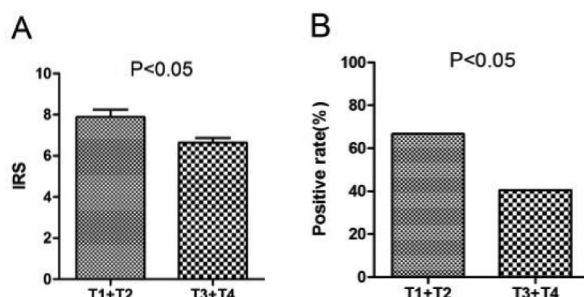


图 3 (T1+T2)组以及(T3+T4)组中 AEBP1 的表达情况

A:两组间免疫评分的差异;B:两组间阳性表达率的差异

Fig. 3 The IRS (A) and rates (B) of AEBP1 protein expression in T1+T2 group and T3+T4 group

表 1 正常组织、腺瘤和结直肠癌组织中 AEBP1 的免疫评分

Table 1 Classification of AEBP1 protein immunoreactivity in the CRC tissues, their corresponding normal tissue and the adenoma tissues

Group	N	IRS(%)					P value	
		0	1-4	5-8	9-12	All positive	vs. Normal	vs. Adenoma
Normal	156	131(84%)	25(16%)	0(0%)	0(0%)	0(0%)		
Adenoma	20	0(0%)	14(70%)	6(30%)	0(0%)	2(10%)	<0.001	
CRC	156	0(0%)	33(21%)	94(60%)	29(19%)	75(48%)	<0.001	<0.001

Note: CRC, colorectal cancer; IRS, immunoreactive score.

表 2 AEBP1 的阳性表达与临床特征的关系

Table 2 Correlation of AEBP1 protein expression with CRC patients' pathological features

Clinical features	Cases	AEBP1 positive	P value
Gender	156		0.164
Male	88	38(43.2%)	
Female	68	37(54.4%)	
Age(year)	156		0.182
≤ 60	54	22(60.7%)	
> 60	102	53(52.0%)	
Lesion sites	156		0.113
Colon	75	41(54.7%)	
Rectum	81	34(42.0%)	
Gross pathology	156		0.471
Exophytic	43	29(67.4%)	
Exophytic & Ulceration	6	3(50.0%)	
Ulceration	97	68(70.1%)	

另外,我们也进行了定量 PCR 实验,结果发现在基因水平上,AEBP1 在肿瘤组织中的表达量也明显高于正常组织($P<0.05$)。

3 讨论

目前,结直肠癌是人类常见的恶性肿瘤之一,目前其致病机制仍没有研究清楚,慢性炎症通常可以破坏导管上皮细胞和其间质细胞之间的正常联系,从而诱导肿瘤的发生^[14,15]。脂肪细胞增强结合蛋白 1(AEBP1)是一个重要的炎症调节因子^[16],在以前的实验中,有人在体内实验中发现 AEBP1 在动脉粥样硬化的发病中起到关键作用,并证明其可以作为动脉粥样硬化预防和治疗的靶点^[17];有文章研究发现 AEBP1 可能通过结合 IK-BA 参与调控 NF-κB 信号通路,证实 AEBP1 可能是一个炎症治疗的新靶点^[16,18];关于它在肿瘤发生发展中的作用,有人运用 q-PCR 和 ChIP-PCR 技术发现 AEBP1 在胶质瘤细胞的增殖和生存能力方面起到重要作用^[19];Ryan W. Holloway 等人发现 AEBP1 参与到上皮细胞和细胞基质之间的信号通路中,从而促进炎症组织向肿瘤方向发展^[20]。

而关于 AEBP1 在结直肠癌中的表达情况未见相关报道,我们免疫组化实验的结果证实,大部分正常组织(83%,131/156)中没有检测到 AEBP1 的表达,在 90%(18/20)的腺瘤组织中检测出 AEBP1 的弱阳性表达,而有 79%(123/156)的肿瘤组织表现出 AEBP1 的阳性表达,正常组织、腺瘤、肿瘤组织 ISR 的均值分别为 0.56 ± 1.316 、 4.2 ± 1.936 、 6.99 ± 2.567 ,可见,随着疾病的进展 AEBP1 的表达量有一个明显的递增趋势,AEBP1 蛋白的这种差异性表达表明 AEBP1 参与了结直肠癌

的发生发展,并且由于在腺瘤和早期肠癌患者中即可检测到表达,因此 AEBP1 很可能是肠癌的一个早期事件。

进一步将 AEBP1 蛋白表达与临床病例特征的关系进行分析,我们发现 AEBP1 的表达与患者临床分期和浸润深度密切相关,主要表现在 I 期患者中的表达量高于 II、III、IV 患者,临幊上区分 I、II 期患者的标志是肿瘤是否浸润至浆膜层,因此,本实验进一步分析了 AEBP1 表达与肿瘤浸润深度关系,发现 AEBP1 与肿瘤的浸润深度密切相关,表现为在 T1 和 T2 组患者中的表达量明显高于 T3 和 T4 组患者,这也解释了 AEBP1 在 I 期患者中的表达量高于 II、III、IV 患者,这种差异性表达表明 AEBP1 也可以作为监测结直肠癌患者疾病进展的指标。

通过本次实验,我们发现 AEBP1 在结直肠癌组织中存在异常表达,并证明了 AEBP1 可能是结直肠癌早期诊断或者浸润深度的肿瘤标志物,但是,关于 AEBP1 在结直肠癌发生发展中的具体功能以及相关的机制,有待于细胞实验的进一步验证。

参考文献(References)

- [1] Siegel R, Naishadham D, Jemal A. Cancer statistics, 2012. CA: a cancer journal for clinicians, 2012, 62: 10-29
- [2] Ross JS. Biomarker update for breast, colorectal and non-small cell lung cancer[J]. Drug News Perspect, 2010, 23: 82-88
- [3] Bast RC, Ravdin P, Hayes DF, et al. 2000 Update of Recommendations for the Use of Tumor Markers in Breast and Colorectal Cancer: Clinical Practice Guidelines of the American Society of Clinical Oncology [J]. Journal of Clinical Oncology, 2001, 19: 1865-1878
- [4] Duffy M, Van Dalen A, Haglund C, et al. Tumour markers in

- colorectal cancer: European Group on Tumour Markers (EGTM) guidelines for clinical use[J]. European Journal of Cancer, 2007, 43: 1348-1360
- [5] Wang Q, Zhang Y-N, Lin G-L, et al. S100P, a potential novel prognostic marker in colorectal cancer [J]. Oncology reports, 2012, 28: 303-310
- [6] Higashijima J, Kurita N, Miyatani T, et al. Expression of histone deacetylase 1 and metastasis-associated protein 1 as prognostic factors in colon cancer[J]. Oncology reports, 2011, 26: 343-348
- [7] Walther A, Johnstone E, Swanton C, et al. Genetic prognostic and predictive markers in colorectal cancer[J]. Nature Reviews Cancer, 2009, 9: 489-499
- [8] Siena S, Sartore-Bianchi A, Di Nicolantonio F, et al. Biomarkers predicting clinical outcome of epidermal growth factor receptor targeted therapy in metastatic colorectal cancer [J]. Journal of the National Cancer Institute, 2009, 101: 1308-1324
- [9] Majdalawieh A, Zhang L, Fukui IV, et al. Adipocyte enhancer-binding protein 1 is a potential novel atherogenic factor involved in macrophage cholesterol homeostasis and inflammation [J]. Proceedings of the National Academy of Sciences of the United States of America, 2006, 103: 2346-2351
- [10] Kim S-W, Muise AM, Lyons PJ, et al. Regulation of adipogenesis by a transcriptional repressor that modulates MAPK activation [J]. Journal of Biological Chemistry, 2001, 276: 10199-10206
- [11] Majdalawieh A, Zhang L, Ro H-S. Adipocyte enhancer-binding protein-1 promotes macrophage inflammatory responsiveness by up-regulating NF-κB via IκBα negative regulation[J]. Molecular biology of the cell, 2007, 18: 930-942
- [12] Ro H-S, Kim S-W, Wu D, et al. Gene structure and expression of the mouse adipocyte enhancer-binding protein[J]. Gene, 2001, 280: 123-133
- [13] Majdalawieh A, Ro H-S. LPS-induced suppression of macrophage cholesterol efflux is mediated by adipocyte enhancer-binding protein 1[J]. The international journal of biochemistry & cell biology, 2009, 41: 1518-1525
- [14] Coussens LM, Werb Z. Inflammation and cancer [J]. Nature, 2002, 420: 860-867
- [15] Clevers H. At the crossroads of inflammation and cancer [J]. Cell, 2004, 118: 671-674
- [16] Majdalawieh A, Ro H-S. Regulation of mediators of inflammation, 2010, 2010
- [17] Bogachev O, Majdalawieh A, Pan X, et al. Adipocyte Enhancer-Binding Protein 1 (AEBP1)(a Novel Macrophage Proinflammatory Mediator) Overexpression Promotes and Ablation Attenuates Atherosclerosis in ApoE-/- and LDLR-/- Mice[J]. Molecular Medicine, 2011, 17: 1056
- [18] Ryan J. Isolated AEBP1 genomic polynucleotide fragments from chromosome 7 and their uses. In: Google Patents, 2012
- [19] Ladha J, Sinha S, Bhat V, et al. Identification of genomic targets of transcription factor AEBP1 and its role in survival of glioma cells[J]. Molecular Cancer Research, 2012, 10: 1039-1051
- [20] Holloway RW, Bogachev O, Bharadwaj AG, et al. Stromal Adipocyte Enhancer-binding Protein (AEBP1) Promotes Mammary Epithelial Cell Hyperplasia via Proinflammatory and Hedgehog Signaling [J]. Journal of Biological Chemistry, 2012, 287: 39171-39181

(上接第 5715 页)

- [12] Shokeir TA, Fawzy M, Tatongy M. The nature of intrauterine adhesions following reproductive hysteroscopic surgery as determined by early and late follow-up hysteroscopy: clinical implications [J]. Arch Gynecol Obstet, 2008, 277(5): 423-427
- [13] Al-Inany H. Intrauterine adhesions [J]. Acta Obstet Gynecol Scand, 2001, 80: 986-993
- [14] Lin JC, Chen YO, Chang CC, et al. Novel adjunctive treatment for cervical adhesion with cross-type nelaton catheter: a preliminary report and literature review. Taiwan [J]. Obstet Gynecol, 2007, 46(1): 38-42
- [15] Agostini A, Cravello L, Desbrières R, et al. Hemorrhage risk during operative hysteroscopy[J]. Acta Obstet Gynecol Scand, 2002, 81(9): 878-881
- [16] Orhue AAE, Aziken ME, Igbeboho JO. A comparison of two adjunctive treatments for intrauterine adhesions following lysis[J]. Int J Gynaecol Obstet, 2003, 82(1): 49-56
- [17] Zikopoulos KA, Kolibianakis EM, Plattein P, et al. Live delivery rates in subfertile women with Asherman's syndrome after hysteroscopic adhesiolysis using the resectoscope or the Versapoint system[J]. RBM Online, 2004, 8(6): 720-725
- [18] Preuthipan S, Linasmita V. Reproductive outcome following hysteroscopic lysis of intrauterine adhesions: a result of 65 cases at Ramathibodi Hospital[J]. Med Assoc Thai, 2000, 83(1): 42-46
- [19] Kodaman PH, Arici A. Intrauterine Adhesions and Fertility Outcome: How to Optimize Success?[J]. Postgraduate Obstetrics & Gynecology, 2007, 27: 1-8
- [20] March CM. Intrauterine adhesions [J]. Obstet Gynecol Clin North Am, 1995, 22(3): 491-505
- [21] 陶址, 段华. 宫腔镜粘连分离术后创面渗出液中粘连相关细胞因子浓度的动态分析[J]. 中华妇产科杂志, 2012, 47(10): 734-737
- Tao Zhi, Duan Hua. Dynamic analysis of adhesion in exudate correlated cytokine concentrations of hysteroscopic adhesiotomy [J]. Chinese Journal of Obstetrics and Gynecology, 2012, 47(10): 734-737
- [22] A.A.E. Orhue, M.E. Aziken, J.O.Igbeboho. A comparison of two adjunctive treatments for intrauterine adhesions following lysis [J]. International Journal of Gynecology and Obstetrics, 2003, 82 (1): 49-56